

06:07:12

©1993

**РЕНТГЕНОДИФРАКЦИОННЫЕ
ИССЛЕДОВАНИЯ ТОЧЕЧНЫХ ДЕФЕКТОВ,
ОБРАЗУЮЩИХСЯ В МОНОКРИСТАЛЛАХ
КРЕМНИЯ ПРИ ИМПУЛЬСНОМ
ЛАЗЕРНОМ ВОЗДЕЙСТВИИ**

А.П.Петраков, В.А.Бушуев

Импульсное лазерное облучение позволяет целенаправленно изменять физические свойства приповерхностных слоев полупроводниковых материалов [1-3], что связано, в частности, с изменениями кристаллической структуры при лазерном воздействии. Оптические и электрофизические свойства материалов существенным образом зависят от наличия дефектов структуры. Существует большое количество работ, посвященных импульсному лазерному отжигу полупроводников (см. [1-3]), однако при лазерном облучении возможен не только отжиг, но и генерация дефектов, что ограничивает эффективность лазерной обработки.

В настоящей работе методами двух- и трехкристальной рентгеновской дифрактометрии [4] исследованы точечные дефекты в приповерхностной области монокристаллов кремния, являющихся исходным материалом для изготовления полупроводников. Данный тип дефектов генерируется лазерным излучением с плотностью энергии W ниже порога плавления поверхности W_p [5]. Изменения структуры приповерхностных слоев совершенных и ионно-имплантированных кристаллов кремния при облучении с $W > W_p$ анализировались ранее в работах [6-9].

Исследования проводились на совершенных монокристаллах кремния толщиной 500 мкм. Поверхность (111) облучалась рубиновым лазером, работающим в режиме свободной генерации с длительностью импульса $\tau = 0.5$ мс. Принимались специальные меры для обеспечения равномерного распределения лазерной энергии (подробнее см. в [9]). Измерения проводились на двух- и трехкристальном рентгеновских дифрактометрах в симметричной бездисперсионной геометрии на CuK_{α_1} -излучении. В качестве монохроматора и анализатора использовались совершенные монокристаллы кремния, отражение (111).

Из рис. 1 видно, что лазерное облучение с плотностью энергии ниже порога плавления $W_p = 18 \text{ Дж/см}^2$ приводит к

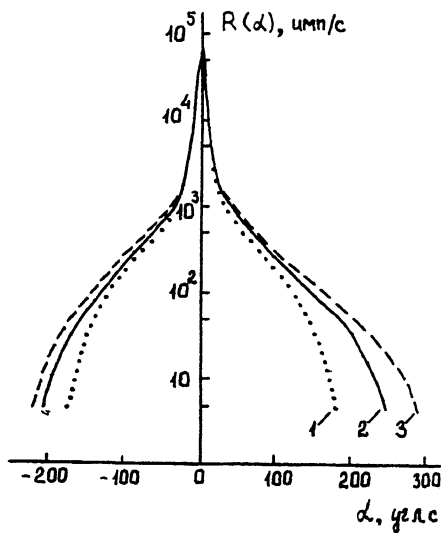


Рис. 1. Зависимость формы КДО от плотности энергии лазерного импульса. 1 — КДО совершенного кристалла кремния; КДО облученных кристаллов с плотностью энергии W ($\text{Дж}/\text{см}^2$): 2 — 1, 3 — 10.

изменению кривых дифракционного отражения (КДО) $R(\alpha)$, где α — угол поворота образца. Пиковая интенсивность уменьшается, а “хвосты” КДО с обеих сторон возрастают. Максимумы КДО 1–3 равны 68, 63 и 61% соответственно. Более высокой плотности энергии $W = 10 \text{ Дж}/\text{см}^2$ соответствует больший спад пиковой интенсивности и рост “хвостов” по сравнению с $W = 1 \text{ Дж}/\text{см}^2$.

На спектрах трехкристальной рентгеновской дифрактометрии (ТРД) в дополнение к главному пику и псевдопику вблизи угла поворота анализатора $\vartheta = 0$ появляется диффузный пик, интенсивность которого растет с увеличением энергии W . Интенсивность главного пика при этом уменьшается. Это изменение, следуя [10], оценивалось величиной $g = 1 - \gamma$, где $\gamma(\alpha)$ — отношение интенсивностей главного пика облученного кристалла к совершенному. При угловой отстройке $|\alpha| \gg \Delta\alpha_B$ главный пик формируется в приповерхностном слое толщиной $z \approx \lambda/2\pi\alpha$ [4], где $\Delta\alpha_B$ — полуширина брэгговского отражения, λ — длина волны рентгеновского излучения. Поэтому, меняя угол α и измеряя отношение γ , можно проследить за изменением степени дефектности по глубине кристалла.

При облучении с $W = 1 \text{ Дж}/\text{см}^2$ величина $g \approx 0.6$ не меняется до глубины 0.03 мкм, затем спадает до 0.3 в интер-

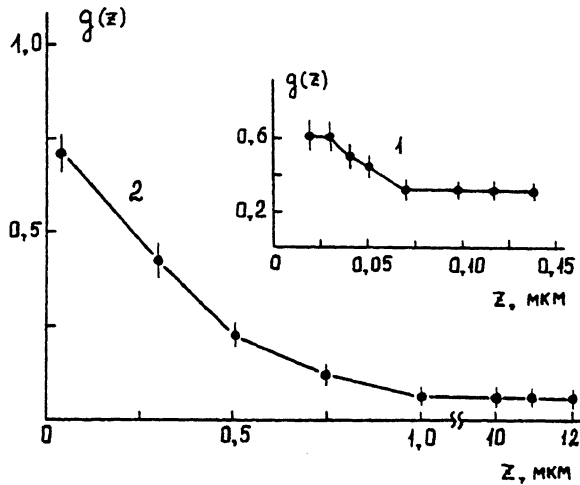


Рис. 2. Зависимость параметра дефектности кристаллической структуры от толщины приповерхностного слоя кристаллов кремния, обученных лазерным импульсом с плотностью W (Дж/см 2): 1 — 1, 2 — 10.

вале 0.03–0.07 мкм и снова становится постоянной вплоть до 0.14 мкм (рис. 2, кривая 1). Дальнейшее увеличение исследуемой толщины затруднено ухудшением разрешения между главным и псевдоピーкиами при малых α . Толщина слоя, в котором наблюдается уменьшение функции $g(z)$ до постоянной величины, растет с энергией W . При плотности $W = 10$ Дж/см 2 она много больше глубины формирования главного пика. По этой причине для регистрации толщинной зависимости $g(z)$ применялось послойное травление в смеси растворов плавиковой и азотной кислот с шагом 0.25 мкм. Величина g непосредственно вблизи поверхности составляет ≈ 0.7 (рис. 3, кривая 2). По мере травления кривая $g(z)$ уменьшается, приближаясь к достаточно малому значению $g \approx 0.66$ на глубине 1 мкм. Это значение не меняется до максимально исследуемой глубины травления 12 мкм.

Уменьшение пиковой интенсивности КДО и появление "хвостов" свидетельствуют об изменении структуры в приповерхностной области облученных кристаллов. Лазерные импульсы с $W < W_{\text{п}}$ вызывают деформацию решетки [8] и генерацию точечных дефектов [5]. Дефектообразование обусловлено нагревом [1–3,5], фотостимулированием [5,11] и рассеянием ударной волны на атомах примеси и точечных дефектах типа вакансий и междуузельных атомов матрицы [12]. Дефектная структура может быть дополнена также дис-

локациями [13], однако анализ угловой зависимости интенсивности диффузного пика показывает, что этот тип дефектов преобладает при облучении с $W > W_n$ [7-9].

Наличие диффузного пика на спектрах ТРД означает присутствие точечных дефектов, коагулированных под влиянием лазерного воздействия в кластеры. Единичные точечные дефекты не могут вызвать четко выраженный диффузный пик, так как угловой интервал диффузного рассеяния обратно пропорционален размерам дефектов.

По ширине $\Delta\alpha \approx 150''$ "хвостов" КДО и скорости спадания интенсивности диффузного пика с ростом α можно оценить, что при $W = 10 \text{ Дж}/\text{см}^2$ размер кластеров составляет $R \approx \lambda/2\Delta\alpha \approx 0.1 \text{ мкм}$. Величина g характеризует относительный объем, занимаемый дефектами. Действительно, в силу кинематического характера дифракции при больших углах α интенсивность главного пика пропорциональна квадрату статического фактора Дебая–Валлера $f^2 = \exp(-2M)$, откуда $\gamma = f^2$. Для сферических аморфных кластеров $M = cv$, где $v = 4\pi R^3/3$, R — радиус кластеров, c — их концентрация. В случае достаточно совершенного слоя величина $M \ll 1$ и параметр $g = 2cv$ действительно определяет относительный объем, занимаемый кластерами. Максимальная концентрация кластеров вблизи поверхности, которая получается из значения $g \approx 0.7$ (рис. 2, кривая 2), составляет $c \approx 10^{14} \text{ см}^{-3}$. На глубине $z > 1 \text{ мкм}$ показатель дефектности M спадает более чем в 20 раз.

Кристаллы, облученные импульсами с $W = 1 \text{ Дж}/\text{см}^2$, характеризуются значительно меньшей интенсивностью и большей угловой шириной диффузного пика, что не позволяет с достаточной уверенностью оценить размер и концентрацию дефектов в этом случае. Тем не менее, данные, приведенные на рис. 2 (кривая 1), также свидетельствуют об уменьшении степени дефектности с увеличением глубины.

Наличие участков с уменьшением дефектности и последующей неизменной ее величиной на рис. 2 указывает на наличие двух механизмов генерации дефектов. Вблизи поверхности преобладающим механизмом является фотостимулирование. Интенсивность лазерного излучения уменьшается с глубиной из-за поглощения, вследствие чего уменьшается и число генерируемых дефектов. Глубина $z_c = 1 \text{ мкм}$, на которой при $W = 10 \text{ Дж}/\text{см}^2$ происходит падение параметра дефектности g до постоянного значения, хорошо согласуется с величиной коэффициента поглощения $8 \cdot 10^3 \text{ см}^{-1}$ [3] кремнием излучения рубинового лазера при $W < W_n$. Длинный участок с постоянной степенью

дефектности обусловлен генерацией дефектов ударной волной. Существенно отметить при этом, что глубина z_c много меньше длины тепловой диффузии $z_t \approx \sqrt{\kappa t} = 200$ мкм, где $\kappa = 0.75$ см²/с [14].

Таким образом, лазерное облучение с энергией ниже порога плавления генерирует преимущественно кластеры точечных дефектов, размер и концентрация которых вблизи поверхности составляют 0.1 мкм и 10¹⁴ см⁻³ соответственно. С продвижением в глубь кристалла степень дефектности уменьшается, приближаясь к постоянному значению.

Список литературы

- [1] Девуреченский А.В., Качурин Г.А., Нидаев Е.В., Смирнов Л.С. Импульсный отжиг полупроводниковых материалов. М.: Наука, 1982. 208 с.
- [2] Вавилов В.С., Кекелидзе Н.П., Смирнов Л.С. Действие излучений на полупроводники. М.: Наука, 1988. 191 с.
- [3] Хайбуллин И.Б., Смирнов Л.С. // ФТП. 1985. Т. 19. В. 4. С. 569-591.
- [4] Афанасьев А.М., Александров П.А., Имамов Р.М. Рентгенодифракционная диагностика субмикронных слоев. М.: Наука, 1989. 152 с.
- [5] Емельянов В.И., Кацкаров П.К. // Поверхность. 1990. В. 2. С. 77-85.
- [6] Петраков А.П., Пунегов В.И., Тихонов Н.А. // Поверхность. 1991. В. 11. С. 46-51.
- [7] Бушуев В.А., Петраков А.П. // Письма в ЖТФ. 1992. Т. 18. В. 8. С. 77-81.
- [8] Бушуев В.А., Петраков А.П. // Поверхность. 1992. В. 9. С. 64-70.
- [9] Бушуев В.А., Петраков А.П. // ФТТ. 1993. Т. 35. В. 2. С. 355-364.
- [10] Iida A. // Phys. Stat. Sol. (a). 1979. V. 54. N 2. P. 701-706.
- [11] Винецкий В.Л., Манойло М.А., Матвийчук А.С. и др. // Письма в ЖТФ. 1988. Т. 14. В. 22. С. 2017-2021.
- [12] Никифоров Ю.П., Янушкевич В.А. // ФТП. 1980. Т. 14. В. 3. С. 534-538.
- [13] Демчук А.В., Пристрем А.М., Данилович Н.И., Лабунов В.А. // Поверхность. 1987. В. 12. С. 89-96.
- [14] Foti G., Rimini E., Bertolotti M., Vitali G. // Phys. Lett. 1978. V. 65A. N 5-6. P. 430-432.

Московский государственный
университет им. М.В.Ломоносова

Поступило в Редакцию
13 августа 1993 г.